

# 비선형 광학 단결정 KNbO<sub>3</sub>를 이용한 광 파라메트릭 진동자의 제작 및 특성

## Fabrication and Characterization of Optical Parametric Oscillator using KNbO<sub>3</sub> Crystals

임민호, 김민수, 김중현, 윤춘섭

KAIST 물리학과

csyoon@mail.kaist.ac.kr

광 파라메트릭 진동자(optical parametric oscillator, OPO)는 가시광선 영역에서 근적외선 영역에 이르기까지 매우 넓은 파장 가변 범위를 가지며, 시료의 각도 또는 온도를 변화시킴으로써 손쉽게 원하는 파장을 생성시킬 수 있다. 이러한 장점들로 인해 OPO는, 유기염료의 사용으로 인해 유지 및 관리에 어려움이 따르는 색소 레이저, 제한된 범위의 근적외선 파장만을 제공하는 Ti:sapphire 레이저에 비해서, 매우 폭넓은 응용 가능성을 갖고 있다. 1965년 Giordmaine 등이 LiNbO<sub>3</sub> 결정을 이용하여 처음으로 OPO 구현에 성공한 이후, 현재에 이르기까지 LiNbO<sub>3</sub>, KH<sub>2</sub>PO<sub>4</sub>,  $\beta$ -BaB<sub>2</sub>O<sub>4</sub>, KTiOPO<sub>4</sub>, LiB<sub>3</sub>O<sub>5</sub>, KNbO<sub>3</sub> 등의 비선형 광학 결정에서 펄스, 연속파 등의 다양한 레이저 광원들을 이용한 OPO 연구들이 보고되고 있다. 그러나 아직도 OPO의 동작 특성 및 변환효율의 예측과 관련된 이론적 바탕이 충분히 정립되어 있지 않으며, 실험적으로도 충분한 특성 파악이 이루어지지 못한 상태이다.

본 연구에서 사용된 KNbO<sub>3</sub>는 다른 무기 비선형 광학 물질들에 비해 매우 높은 감도지수(figure of merit,  $d_{eff}/n^3$ )를 가지므로 낮은 펌프 세기에서도 충분히 높은 파장변환 효율을 기대할 수 있다는 장점이 있다. 하지만 강유전 분역(domain) 분포와 이에 의한 빛의 산란이 파장변환 응용에 큰 걸림돌이 되어 왔다. 이러한 이유로 KNbO<sub>3</sub> OPO에 대해 연구 보고는 소수에 불과하며<sup>[1-4]</sup>, 여타의 OPO 연구에서와 마찬가지로 동작 특성의 분석이 충분히 이루어지지 못하고 있다. 이 연구에서는 본 연구실에서 성장시킨 단일 분역 KNbO<sub>3</sub> 단결정을 이용하여 근적외선 영역의 파장을 발생시키는 단일 공진(singly resonant) OPO를 제작하고, 펌프의 문턱 세기(threshold intensity) 및 빔의 종단면 모양(profile), walk-off에 의한 효과 등의 특성을 분석하였다.

본 연구에서 제작한 KNbO<sub>3</sub> OPO의 장치도는 Fig. 1과 같다. KNbO<sub>3</sub> 시료는  $\theta = 22^\circ$ ,  $\varphi = 0^\circ$ 의 방향으로 절단하였으며, 길이는 9.5 mm였다. OPO의 펌프 광원으로는 Nd:YAG 레이저(9 ns, 10 Hz)의 2차 조화파(532 nm)를 이용하였고, input coupler와 output coupler의 signal에 대한 반사율은 각각 >99%, ≈70%이다. 제작된 type I KNbO<sub>3</sub> OPO를  $\theta$  방향으로 각도 tuning하여, signal 0.767~0.919  $\mu$ m, idler 1.262~1.710  $\mu$ m의 tuning 범위를 얻었으며, 측정된 tuning 곡선은 계산 결과와 매우 잘 일치하였다 (Fig. 2). 한편  $\theta = 22^\circ$ ,  $\varphi = 0^\circ$  방향에서 펌프 에너지를 변화시키면서 OPO 출력 에너지를 측정한 결과 (Fig. 3)로부터, 본 연구에서 제작한 OPO의 펌프 문턱 에너지가 6 mJ임을 알 수 있었으며, 펌프 에너지 13.2 mJ에서 최대 13.5%의 변환 효율을 얻었다. CCD 카메라로 펌프의 종단면을 측정한 결과 (Fig. 4), 펌프의 walk-off에 의한 효과를 확인할 수 있었는데 측정된 walk-off 방향은 이론적 계산과 일치하였다.

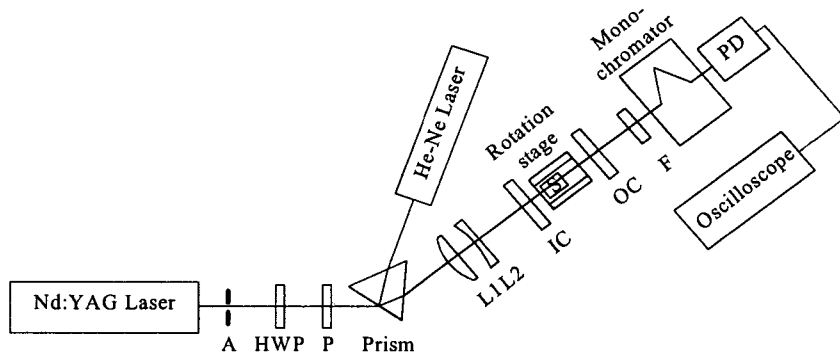


Fig. 1. Schematic of the experimental setup for OPO.

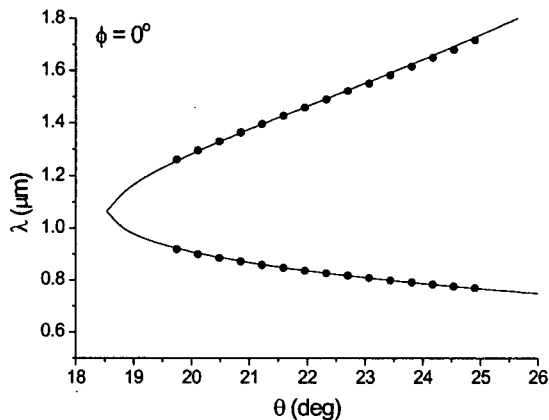


Fig. 2. Tuning curve of  $\text{KNbO}_3$  OPO (closed circles: experiments, solid line: theory).

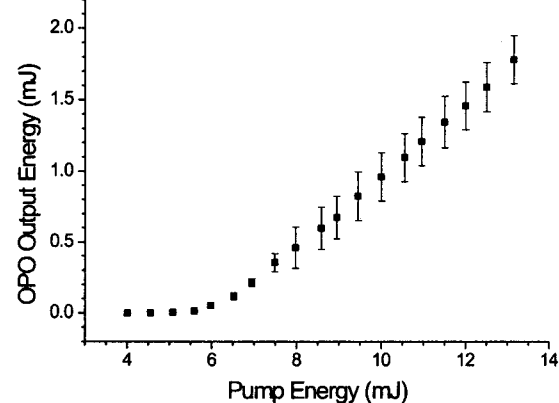


Fig. 3. OPO output energy.

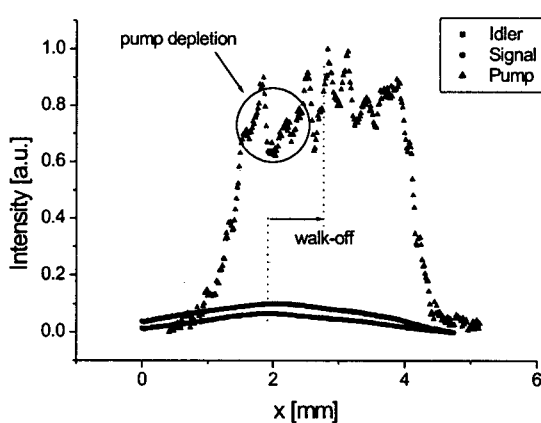


Fig. 4. Pump beam profiles at  $(I_p)_{\text{in}} = 12 \text{ mJ}$ .

1. V. A. D'yakov, V. I. Pryalkin, and A. I. Kholodnykh, *Sov. J. Quantum Electron.* **11**, 433 (1981).
2. K. Kato, *IEEE J. Quantum Electron.* **QE-18**, 451 (1982).
3. W. R. Bosenberg and R. H. Jarman, *Opt. Lett.* **18**, 1323 (1993).
4. R. Urschel, A. Fix, R. Wallenstein, D. Rytz, and B. Zysset, *J. Opt. Soc. Am. B* **12**, 726 (1995).